

Méthodes de Kashiwara-Vergne-Rouvière pour certains espaces symétriques

Charles Torossian*

Résumé : Cet article est une suite de notre article [To1]. Nous abordons le cas des espaces symétriques dans l'esprit que l'article de F. Rouvière [Rou1]. Nous expliquons comment nos méthodes s'appliquent dans le cas des espaces symétriques résolubles et "très symétriques". Cet article est paru sur arXivMath : QA/0202217.

Abstract : This paper follows our previous work [To1]. We recover Rouvière's results [Rou1] for solvable symmetric spaces and for other "very symmetric spaces" like $\mathfrak{g}_{\mathbb{C}}/\mathfrak{g}_{\mathbb{R}}$.

AMS Classification : 17B, 17B25, 22E, 53C35, 53D55.

1 Introduction

Dans notre article précédent [To1], nous avons montré comment les méthodes de Kontsevich sur la quantification formelle des variétés de Poisson, permettent de résoudre certaines conjectures sur la formule de Campbell-Hausdorff (BCH in English). Plus précisément, nous avons construit une déformation de la formule BCH, qui vérifie une équation différentielle analogue à celle que l'on trouve dans l'article de Kashiwara-Vergne [KV]. Ces équations ont la même utilité que celles de Kashiwara-Vergne, elles permettent de montrer notamment que l'application exponentielle (modifiée par la racine carrée du jacobien) transporte la convolution des distributions invariantes sur les algèbres de Lie ([Du],[KV],[ADS],[Ve],[AST],[Mo]).

Dans cet article nous abordons le cas des espaces symétriques.

Dans notre mémoire d'Habilitation [To2] nous avons abordé certains problèmes d'analyse harmonique pour les espaces symétriques. Nous avons expliqué que le comportement des espaces symétriques est à la fois proche et éloigné du cas des algèbres de Lie. On peut dire en résumant grossièrement, qu'il existe une catégorie d'espaces symétriques pour lesquelles les méthodes des groupes fonctionnent bien (cas nilpotent, résoluble, $G_{\mathbb{C}}/G_{\mathbb{R}}$,

*UMR 8553 du CNRS, DMA-ENS, Ecole Normale Supérieure, 45 rue d'Ulm 75230 Paris cedex 05, Charles.Torossian@ens.fr

cas "très symétrique"). Malheureusement le cas général des espaces symétriques ne peut pas être traité par des méthodes s'inspirant simplement du cas des groupes (voir la fin de cet article pour quelques explications).

Dans cet article nous allons déformer la formule de Campbell-Hausdorff pour les espaces symétriques généraux.

Nous montrerons que cette déformation vérifie, dans les bons cas évoqués plus haut (résoluble ou très-symétriques), des équations analogues au cas des groupes. On en déduira que l'application exponentielle (modifiée par la racine carrée du Jacobien) transporte la convolution des germes de distributions K -invariantes sur \mathfrak{p} . Nous retrouvons ainsi les résultats de Rouvière [Rou1] du cas résoluble. Notre démonstration fournit une preuve dans le cas très-symétrique ce qui à notre connaissance est un résultat nouveau.

Remerciements : L'auteur remercie M. Pevzner et le département de mathématiques l'Université Libre de Bruxelles (ULB) pour leur invitation (fin janvier 2002). L'auteur y a finalisé les résultats de cet article. Nous remercions aussi les organisateurs du colloque Carmona pour leur invitation. Nous avons eu le plaisir de présenter les résultats de cet article à cette occasion.

2 Rappels

2.1 Rappels sur la formule de Kontsevich dans le cas des algèbres de Lie

Cet article fait suite à [To1], dont nous reprenons les notations et la problématique. En particulier nous ne détaillons pas précisément les éléments qui interviennent dans la formule de Kontsevich (voir [Ko]). Nous nous contentons des éléments indispensables pour la compréhension de cet article.

La formule décrit pour toute structure de Poisson un "star"-produit associatif sur \mathbb{R}^d .

Lorsque f et g deux fonctions polynomiales sur \mathbb{R}^d on a

$$f \star g = fg + \sum_{n=1}^{\infty} \frac{h^n}{n!} \sum_{\Gamma \in G_{n,2}} w_{\Gamma} B_{\Gamma}(f, g) \quad (1)$$

avec h un paramètre formel, Γ un graphe admissible, w_{Γ} un coefficient obtenu par intégration sur un espace de configurations d'une forme différentielle dépendant de Γ et B_{Γ} est un opérateur bidifférentiel construit à partir de ces mêmes graphes (voir les références citées pour toutes ces notions).

Lorsque l'on considère des structures de Poisson linéaires, i.e. dans le cas \mathfrak{g}^* , l'ordre des opérateurs B_{Γ} est suffisamment croissant et la formule ci-dessus est en fait une somme finie

lorsque f et g sont deux fonctions polynomiales. Lorsqu'on prend pour crochet de Poisson la moitié du crochet de Lie, le "star"-produit définit une structure d'algèbre enveloppante.

Comme dans [AST],[To1],[Ka] la formule de Kontsevich appliquée au cas des algèbres de Lie donne le résultat suivant. Tout graphe admissible pertinent se décompose en produit de graphes simples. Chaque graphe simple est soit de type Lie i.e. un graphe avec une seule racine et sans roue (le graphe est un arbre comme dans la figure [1]) soit un graphe de type roue (i.e. une roue tentaculaire comme dans la figure [2]).

Dans [AST] on a associé un symbole à chaque graphe, on notera abusivement $\Gamma(x, y)$ le symbole associé au graphe Γ . Par exemple le symbole associé au graphe de la figure [1] est $\Gamma(x, y) = [[x, [x, y]], y]$ et le symbole associé au graphe de la figure [2] est $\text{tr}(\text{adx ad}[x, y] \text{ady ad}y)$. Le symbole est une fonction polynomiale de $\mathfrak{g} \times \mathfrak{g}$ dans $S[\mathfrak{g}]$.

Lorsque le graphe est simple et de type Lie, alors $\Gamma(x, y)$ est naturellement un élément de l'algèbre de Lie engendrée par x et y .

Le symbole formel associé au "star"-produit de Kontsevich est donc un produit de deux termes de type exponentiel correspondant aux contributions des graphes simples de type Lie (c'est la formule de Campbell-Hausdorff) et des graphes simples de type roue (c'est la fonction de densité).

Comme démontré dans [Ka], la formule de Campbell-Hausdorff s'écrit alors pour x et y dans \mathfrak{g}

$$Z(x, y) = x + y + \sum_{\Gamma} w_{\Gamma} \Gamma(x, y) \quad (2)$$

où la somme porte sur l'ensemble des graphes "géométriques" simples et de type Lie.

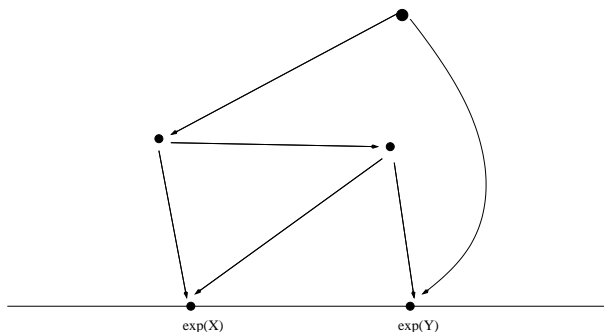


FIG. 1: Graphe simple de type Lie

Dans le cas des algèbres de Lie la formule de Kontsevich s'écrit alors de la manière suivante dans $S[[\mathfrak{g}]]$, l'espace des séries formelles sur \mathfrak{g}^* (on fait $\hbar = 1$, voir [AST])

$$\exp(X) \star \exp(Y) = D(X, Y) \exp(Z(X, Y)) \quad (3)$$

avec $D(X, Y)$ la fonction de densité :

$$D(X, Y) = \exp \left(\sum_{\Gamma} w_{\Gamma} \Gamma(X, Y) \right) \quad (4)$$

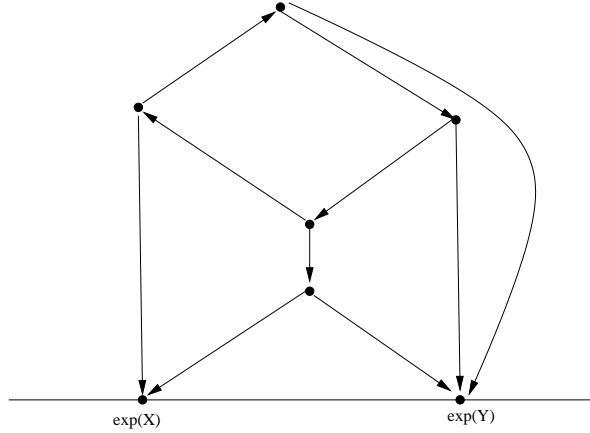


FIG. 2: Graphe simple de type Roue

où la somme porte sur l'ensemble des graphes "géométriques" simples et de type roue. On montre que cette fonction vaut exactement

$$D(X, Y) = \frac{j^{1/2}(X)j^{1/2}(Y)}{j^{1/2}(Z(X, Y))} \quad (5)$$

avec j le jacobien de la fonction exponentielle à savoir

$$j(X) = \det_{\mathfrak{g}} \left(\frac{1 - \exp(-\text{ad}X)}{\text{ad}X} \right).$$

2.2 Rappel sur les espaces symétriques

Soit \mathfrak{g} une algèbre de Lie de dimension finie sur \mathbb{R} , on appelle paire symétrique, tout couple (\mathfrak{g}, σ) avec σ une automorphisme de Lie involutif. Habituellement on note $\mathfrak{g} = \mathfrak{k} \oplus \mathfrak{p}$ la décomposition en espaces propres relativement à σ .

Lorsque \mathfrak{g} est l'algèbre de Lie d'un groupe de Lie G et σ la différentielle d'un involution de G (un automorphisme de groupe vérifiant $\sigma^2 = 1$), on note G^σ le sous-groupe des points fixes de σ dans G et K la composante connexe de G^σ qui contient 1. L'espace G/K est appelé espace symétrique. Alors \mathfrak{k} est l'algèbre de Lie de K , mais en général \mathfrak{p} n'est pas une sous-algèbre de Lie car on a les relations suivantes $[\mathfrak{k}, \mathfrak{p}] \subset \mathfrak{p}$ et $[\mathfrak{p}, \mathfrak{p}] \subset \mathfrak{k}$. On peut identifier \mathfrak{p} à l'espace tangent $T_{eK}(G/K)$. Il existe cependant sur \mathfrak{p} un produit triple donné par la formule

$$(X, Y, Z) \mapsto [[X, Y], Z]. \quad (6)$$

Les espaces vectoriels munis de produits triples sont pour les espaces symétriques, ce que sont les algèbres de Lie pour les groupes de Lie [Lo].

L'application exponentielle définit un difféomorphisme local de \mathfrak{p} sur G/K . On la note Exp . On en déduit alors l'existence d'une formule de Campbell-Hausdorff pour les espaces symétriques, définie de la manière suivante. Pour $X, Y \in \mathfrak{p}$ proche de 0 il existe une série convergente $Z_{sym}(X, Y)$ à valeurs dans \mathfrak{p} telle que l'on ait

$$\exp(X)\text{Exp}(Y) = \text{Exp}(Z_{sym}(X, Y)).$$

En utilisant l'involution σ on trouve facilement

$$\exp(2Z_{sym}(X, Y)) = \exp(X) \exp(2Y) \exp(X). \quad (7)$$

Cela nous suggère de modifier le crochet de Lie pour \mathfrak{g} et de prendre plutôt deux fois le crochet. On aura alors (le terme de droite est calculé pour le crochet double dans G)

$$\exp(Z_{sym}(X, Y)) = \exp(X/2) \cdot \exp(Y) \cdot \exp(X/2). \quad (8)$$

3 Méthodes de déformation pour les espaces symétriques

3.1 Calcul de la formule de Campbell-Hausdorff

Comment exprimer maintenant $Z_{sym}(X, Y)$ en termes de diagrammes? Cela revient à se demander comment on calcule les produits itérés du "star"- produit.

La proposition suivante résout la question (voir la fin de l'article [Ko]). On considère $G_{n,3}$ l'ensemble des graphes admissibles avec n points aériens et 3 points terrestres. On place les points terrestres en $0, s, 1$ avec $s \in]0, 1[$ (cf figure [3]). On notera $w_\Gamma(s)$ la valeur du coefficient obtenu par intégration sur les points aériens.

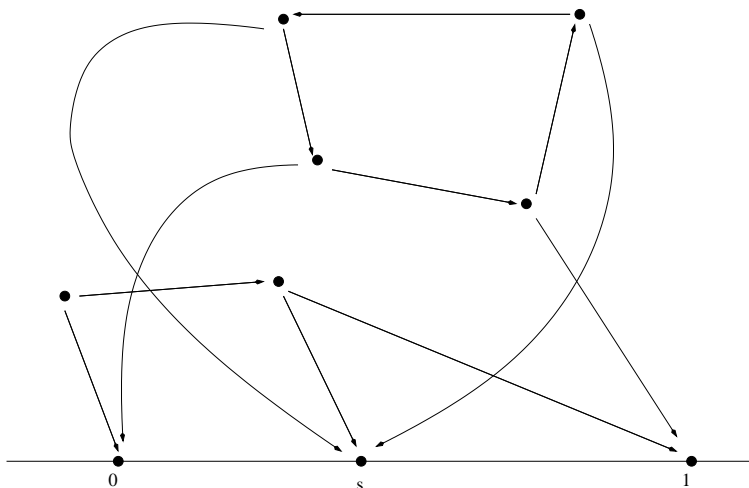


FIG. 3: Graphe avec trois points terrestres

Proposition 1. *Pour f, g, h trois fonctions sur \mathfrak{g}^* on a*

$$f \star g \star k = fgk + \sum_{n=1}^{\infty} \frac{h^n}{n!} \sum_{\Gamma \in G_{n,3}} w_{\Gamma}(s) B_{\Gamma}(f, g, k).$$

Preuve : On doit montrer deux choses, d'une part que l'expression est indépendante de s et qu'elle vaut bien le produit associatif donné.

On utilise le calcul de la dérivée de $w_{\Gamma}(s)$ comme dans [To1]. Cela revient à utiliser la formule de Stokes ([AST], [Ko]) de manière infinitésimale. Comme les points $0, s, 1$ sont sur l'axe réel, les concentrations que l'on doit effectuer sont aériennes. Les expressions non nulles se compensent par l'identité de Jacobi, à savoir $\alpha \cdot \alpha = 0$ (avec α le bivecteur de Poisson associé au crochet de Lie [Ko]). Le terme de droite est donc constant. Maintenant lorsque s tend vers 0, on obtient toutes les concentrations de p points aériens avec leurs $2p$ arêtes. En effet, il faut tenir compte des composantes de bord dans les différentes compactifications des espaces de configurations. Le résultat vaut alors clairement la factorisation

$$(f \star g) \star k.$$

On en retrouve l'associativité du "star"-produit en considérant la limite quand s tend vers 1. \square

Plaçons maintenant le point médian en $1/2$. On place en 0 la fonction $\exp(X/2)$, en $1/2$ la fonction $\exp(Y)$ et en 1 la fonction $\exp(X/2)$. On s'intéresse à la contribution des termes dans

$$\begin{aligned} & \exp(X/2) \star \exp(Y) \star \exp(X/2) = \\ & \exp(X + Y) + \sum_{n=1}^{\infty} \frac{1}{n!} \sum_{\Gamma \in G_{n,3}} w_{\Gamma}(1/2) B_{\Gamma} \left(\exp(X/2), \exp(Y), \exp(X/2) \right). \end{aligned} \quad (9)$$

Le bivecteur de Poisson intervenant est comme d'habitude la moitié du crochet de Lie (n'oublions pas que l'on a pris le double du crochet). On fait maintenant intervenir la symétrie par rapport à la droite $x = 1/2$. Si Γ est un graphe, on note Γ^{\wedge} le graphe symétrisé. Clairement, les quantités

$$B_{\Gamma} \left(\exp(X/2), \exp(Y), \exp(X/2) \right)$$

et

$$B_{\Gamma^{\wedge}} \left(\exp(X/2), \exp(Y), \exp(X/2) \right)$$

sont égales. Par contre on a $w_{\Gamma^{\wedge}} = (-1)^n w_{\Gamma}$. On en déduit que la contribution des termes avec n impair est nul. La géométrie des graphes intervenant dans cette formule est la même que dans le cas algèbres de Lie [AST]. On en déduit que la contribution des graphes simples de type Lie (c'est à dire avec une seule racine) correspond à la formule

de Campbell-Hausdorff pour les espaces symétriques. On note de la même façon que précédemment le symbole de l'opérateur B_Γ . On a donc

$$\Gamma(X, Y) = B_\Gamma\left(\exp(X/2), \exp(Y), \exp(X/2)\right) \exp(-X - Y).$$

Proposition 2. *La formule de Campbell-Hausdorff pour les espaces symétriques s'écrit pour $X, Y \in \mathfrak{p}$*

$$Z_{sym}(X, Y) = X + Y + \sum_{\Gamma} w_\Gamma(1/2) \Gamma(X, Y)$$

avec la somme portant sur les graphes simples géométriques de type Lie avec trois points terrestres. En particulier on a bien $Z_{sym}(X, Y) \in \mathfrak{p}$.

Comme dans le cas des groupes, on en déduit que l'on peut séparer les contributions dans (9). On a donc pour $X, Y \in \mathfrak{p}$

$$\exp(X/2) \star \exp(Y) \star \exp(X/2) = D_{sym}(X, Y) \exp(Z_{sym}(X, Y)) \quad (10)$$

Notons, comme dans [Rou1], $J(X)$ le jacobien de l'application Exp. On a pour le crochet de Lie simple

$$J(X) = \det_{\mathfrak{p}} \left(\frac{\sinh \operatorname{ad} X}{\operatorname{ad} X} \right). \quad (11)$$

On peut donner une formule pour la fonction de densité $D_{sym}(X, Y)$. On a

$$D_{sym}(X, Y) = \frac{j(X/2)j(Y)^{1/2}}{j(Z_{sym}(X, Y))^{1/2}} \quad (12)$$

où la fonction j est calculée pour le crochet double. Or pour $X \in \mathfrak{p}$ on a

$$j(X) = \exp(-\operatorname{tr}_{\mathfrak{g}}(\operatorname{ad} X)) J(X)^2$$

avec membre de droite calculé pour le crochet simple. On en déduit la formule

$$D_{sym}(X, Y) = \frac{J(X/2)^2 J(Y)}{J(Z_{sym}(X, Y))}. \quad (13)$$

3.2 Première Déformation

On va effectuer maintenant une première déformation de la formule de Campbell-Hausdorff et de la fonction de densité, comme dans [To1].

La première déformation correspond typiquement au graphe de la figure [4] où la position du point $\exp(Y)$ est repéré par la variable t . Cette variable désigne la position du point dans $\overline{C_{1,2}}^+$, avec le point aérien sur la droite d'équation $x = 1/2$.

On ajoute un indice t pour signifier la dépendance en t . La règle concernant les symétries dans les coefficients $w_{\Gamma,t}$ joue de la même façon que précédemment. Seuls les termes avec un nombre pair de sommets vont intervenir en définitive.

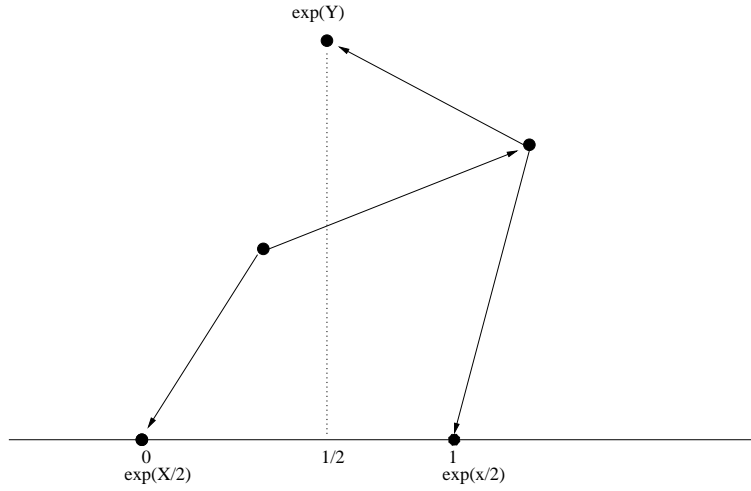


FIG. 4: Première déformation typique

On effectue comme dans [To1] le calcul de la dérivée. On ne doit considérer que les concentrations d'un point aérien sur $\exp(Y)$, les autres concentrations donnant soit directement 0 soit s'annulant par compensation due à l'identité de Jacobi. On se retrouve avec des coefficients dérivés du genre de la figure [5]

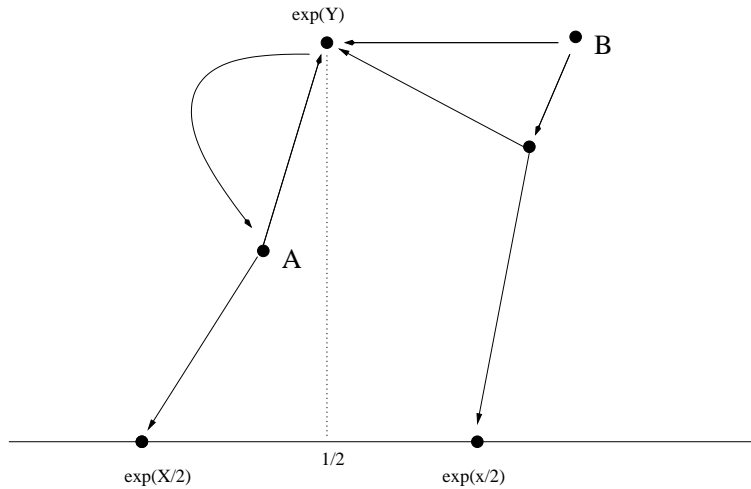


FIG. 5: Contribution Type dans la dérivée

Pour les mêmes raisons expliquées dans [To1], ce coefficient contient un terme en dt . Il se factorise en un $w_A w_B$ où w_B se calcule à t constant et w_A contient toute la contribution de la différentielle en t . En regroupant les graphes qui dégénèrent de cette manière, on fait apparaître un terme du genre

$$\partial_Y B(X, Y) \cdot [Y, A(X, Y)] \quad (14)$$

où A, B désignent les symboles des graphes A, B . Pour des raisons de symétrie, le graphe B a un nombre pair de sommets et le graphe A un nombre impair (à cause de l'arête qui joint $\exp(Y)$ à un sommet de A). La factorisation du coefficient permet alors de tout factoriser.

Bref, on arrive aux mêmes équations que celles que nous avons établies dans [To1].

Théorème 1. *Soit (\mathfrak{g}, σ) une paire symétrique réelle. Il existe une série convergente en X, Y dans un voisinage de 0 dans \mathfrak{p} , on la note $F_t(X, Y)$. Elle est à valeurs dans \mathfrak{k} et c'est une 1-forme en t . Il existe une déformation de la formule de Campbell-Hausdorff pour les espaces symétriques, on la note $Z_{sym,t}(X, Y)$, et il existe une déformation de la fonction de densité, on la note $D_{sym,t}(X, Y)$ telle que l'on ait*

$$dZ_{sym,t}(X, Y) = [Y, F_t(X, Y)] \cdot \partial_Y Z_{sym,t}(X, Y)$$

et

$$dD_{sym,t}(X, Y) = [Y, F_t(X, Y)] \cdot \partial_Y D_{sym,t}(X, Y) + \mathrm{tr}_{\mathfrak{g}}\left(D_Y F_t \circ \mathrm{ad}(Y)\right) D_{sym,t}(X, Y).$$

En effet, la 1 forme $F_t(X, Y)$, correspond à $\sum_A w_A A(X, Y)$ avec A un graphe simple avec une seule racine, et w_A le coefficient calculé en ajoutant une arête du point t vers le sommet de A (voir figure [5]). La notation $D_Y F_t(X, Y)$ signifie que l'on a pris la différentielle partielle de F_t en Y .

3.3 Modification de la fonction de densité pour les espaces symétriques : cas résoluble et très symétrique

Les équations obtenues dans le théorème précédent ne sont pas satisfaisantes du point de vue de espaces symétriques. En effet au lieu de trouver une $\mathrm{tr}_{\mathfrak{g}}$ on aurait aimé trouver une $\mathrm{tr}_{\mathfrak{k}}$.

Comme $D_Y F_t$ et $\mathrm{ad}Y$ sont des endomorphismes de \mathfrak{g} qui envoient \mathfrak{k} sur \mathfrak{p} et \mathfrak{p} sur \mathfrak{k} , on en déduit que l'on a

$$\mathrm{tr}_{\mathfrak{p}}\left(\mathrm{ad}(Y) \circ D_Y F_t\right) = \mathrm{tr}_{\mathfrak{k}}\left(D_Y F_t \circ \mathrm{ad}(Y)\right) \quad (15)$$

puis

$$\mathrm{tr}_{\mathfrak{g}}\left(D_Y F_t \circ \mathrm{ad}(Y)\right) = 2\mathrm{tr}_{\mathfrak{p}}\left(\mathrm{ad}(Y) \circ D_Y F_t\right) - \mathrm{tr}_{\mathfrak{k}}\left([D_Y F_t, \mathrm{ad}(Y)]\right) \quad (16)$$

Lemme 1 ([Rou1]). *Pour les espaces symétriques résolubles et les paires très symétriques le commutateur $[D_Y F_t, \mathrm{ad}(Y)]$ est à trace nulle sur \mathfrak{k} .*

On en déduit alors, que l'on peut transformer facilement les traces sur \mathfrak{g} en des traces sur \mathfrak{p} à condition que le terme $\mathrm{tr}_{\mathfrak{k}}([D_Y F_t, \mathrm{ad}Y])$ soit nul. C'est exactement l'argument que Rouvière emploie dans [Rou1]. En particulier on trouve que ce terme est nul dans le cas des paires symétriques résolubles et des paires très symétriques. Une paire très symétrique

est la donnée d'une paire symétrique et d'un automorphisme commutant aux $\text{ad}X$ et qui envoie \mathfrak{p} sur \mathfrak{k} et \mathfrak{k} sur \mathfrak{p} . Pour les paires très symétriques on a très facilement

$$\text{tr}_{\mathfrak{k}}(D_Y F_t \circ \text{ad}Y) = \text{tr}_{\mathfrak{p}}(D_Y F_t \circ \text{ad}Y) = \text{tr}_{\mathfrak{k}}(\text{ad}Y \circ D_Y F_t). \quad (17)$$

Des exemples connus de paires très symétriques, sont les paires $\mathfrak{g} \times \mathfrak{g}/\mathfrak{g}$ et $\mathfrak{g}_{\mathbb{C}}/\mathfrak{g}_{\mathbb{R}}$ (dans le premier cas, on prend $A(X, Y) = (X, -Y)$ et dans le second cas on prend la multiplication par i).

Conclusion : Dans le cas des espaces symétriques il est utile de prendre la racine carrée de la fonction de densité (il n'y a pas de problème car c'est l'exponentielle de quelque chose).

3.4 Calcul de la fonction de densité à l'infini

On fait tendre t vers l'infini, ce qui revient au même de fixer $t = 1$ et de faire tendre les deux points terrestres vers $1/2$.

On détermine facilement la valeur de la fonction de densité à l'infini. Avant cela introduisons une autre fonction de densité que l'on note $E_{1/2}(X, Y)$, correspondant aux contributions de tous les graphes de la figure [6], c'est à dire des graphes de type roue, avec un point terrestre placé en $1/2$ correspondant à $\exp(X)$ et un point aérien placé en $1/2 + i$ correspondant à $\exp(Y)$.

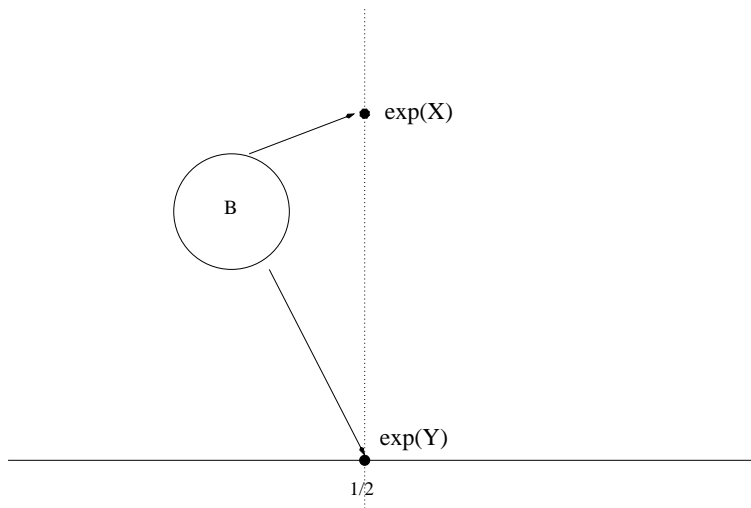


FIG. 6: Contribution Type dans la deuxième fonction de densité

De manière analogue on notera $\exp(Z_{1/2}(X, Y))$ la contribution des graphes de type Lie du genre de la figure [7].

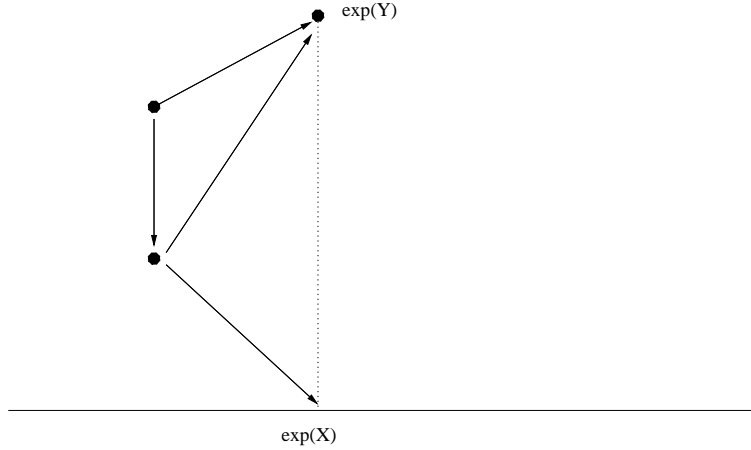


FIG. 7: Contribution Type dans $Z_{1/2}$

Proposition 3. *Lorsque le point t part à l'infini dans la direction imaginaire, on obtient*

$$D_{sym,\infty}(X, Y) = E_{1/2}(X, Y) \frac{J^2(X/2)}{J(X)}$$

Preuve : En approchant les deux points terrestres vers $1/2$, on doit tenir compte de toutes les concentrations de points aériens sur ces points terrestres. Cela ajoute un terme correspondant à la fonction de densité pour les algèbres de Lie, où l'on place $\exp(X/2)$ et $\exp(X/2)$ aux points terrestres, ce qui donne

$$\frac{j(X/2)}{j(X)^{1/2}} = \frac{J^2(X/2)}{J(X)}.$$

[Le terme de gauche est calculé pour le crochet double, et le terme de droite pour le crochet simple.] \square

3.5 Interprétation dans l'oeil de Kontsevich

Lorsqu'on a rapproché nos deux points terrestres en $1/2$, on se retrouve avec des graphes admissibles classiques. Le couple de points $(1/2 + i, 1/2)$ est donc un point dans $\underline{C}_{2,0}$ positionné sur la paupière et sur l'axe de symétrie. Cela explique notre choix de notation, on est à la moitié sur la paupière (voir figure [8]).

3.6 Application à la convolution des distributions K -invariantes sur les espaces symétriques résolubles ou très symétriques

En reprenant les arguments énoncés dans [AST] et ce que l'on sait de la convolution de germes de distributions invariantes sur \mathfrak{p} (voir [Rou1]), on en déduit le théorème suivant.

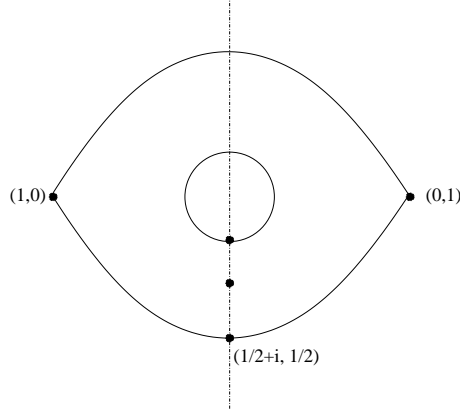


FIG. 8: Le point de déformation reste sur l'axe $x = 1/2$

Théorème 2. Soit (\mathfrak{g}, σ) une paire symétrique résoluble ou très symétrique. Soient $u(x)$ et $v(y)$ des germes de distributions $\text{ad}_{\mathfrak{k}}$ -invariants en 0 dans \mathfrak{p} à supports compatibles. On a alors la formule suivante

$$\int u(x)v(y) \frac{J^{1/2}(x)J^{1/2}(y)}{J^{1/2}(z_{\text{sym}}(x,y))} \Phi(z_{\text{sym}}(x,y)) dx dy = \int u(x)v(y) E_{1/2}^{1/2}(x,y) \Phi(z_{1/2}(x,y)) dx dy$$

pour Φ une fonction test de support près de 0 dans \mathfrak{p} .

Preuve : Les problèmes de convergence sont ceux qui sont étudiés dans les références citées. On se contente donc de la partie formelle.

On a introduit une déformation de la formule de Campbell-Hausdorff et de la fonction de densité. On a donc une dépendance en t

$$\Psi(t) = \int u(x)v(y) D_{\text{sym},t}^{1/2}(x,y) \Phi(z_{\text{sym},t}(x,y)) dx dy. \quad (18)$$

On calcule facilement la dérivée en t , compte tenu des équations du théorème 1. On obtient

$$\Psi'(t) = \int u(x)v(y) m_t(x,y) D_{\text{sym},t}^{1/2}(x,y) \Phi(z_{\text{sym},t}(x,y)) dx dy \quad (19)$$

avec $m_t(x,y) = -\frac{1}{2} \text{tr}_{\mathfrak{k}}([D_Y F_t, \text{ad}_y])$. On a utilisé le fait que l'invariance du germe $v(y)$ signifie exactement

$$v(y)[y, F_t(x,y)] \cdot \partial_y = -\text{tr}_{\mathfrak{p}}(\text{ad}(y) \circ D_Y F_t) v(y), \quad (20)$$

ce qui fait disparaître le terme en $\text{tr}_{\mathfrak{p}}$ dans (16) (n'oublions pas que l'on a pris la racine carrée). Lorsque (\mathfrak{g}, σ) est une paire très symétrique ou une paire résoluble, on a vu que la trace sur \mathfrak{k} du crochet est nulle. On en déduit que la fonction Ψ est constante.

Il vient $\Psi(0) = \Psi(\infty)$ à savoir

$$\int u(x)v(y) \frac{J(x/2)J(y)^{1/2}}{J(z_{sym}(x,y))^{1/2}} \Phi(z_{sym}(x,y)) dx dy = \int u(x)v(y) E_{1/2}^{1/2}(x,y) \frac{J(x/2)}{J(x)^{1/2}} \Phi(z_{1/2}(x,y)) dx dy$$

ce qui donne en changeant un peu l'ordre des termes et en simplifiant par $J(x/2)$ (la fonction J est invariante par K et l'énoncé vaut pour tous germes de distributions invariante)

$$\int u(x)v(y) \frac{J(x)^{1/2}J(y)^{1/2}}{J(z_{sym}(x,y))^{1/2}} \Phi(z_{sym}(x,y)) dx dy = \int u(x)v(y) E_{1/2}^{1/2}(x,y) \Phi(z_{1/2}(x,y)) dx dy. \square$$

Conclusion : dans les cas de paires symétriques étudiées, on a trouvé une déformation adéquate vis à vis de la convolution des germes de distributions invariante sur les espaces symétriques.

3.7 Deuxième déformation

On utilise maintenant la deuxième déformation, qui consiste à déplacer dans $\overline{C_{2,0}}$ notre point de la paupière sur l'iris tout en restant sur l'axe de symétrie vertical de l'oeil. En d'autres termes, on fait se rapprocher les deux points sur l'axe $x = 1/2$, comme sur la figure [9].

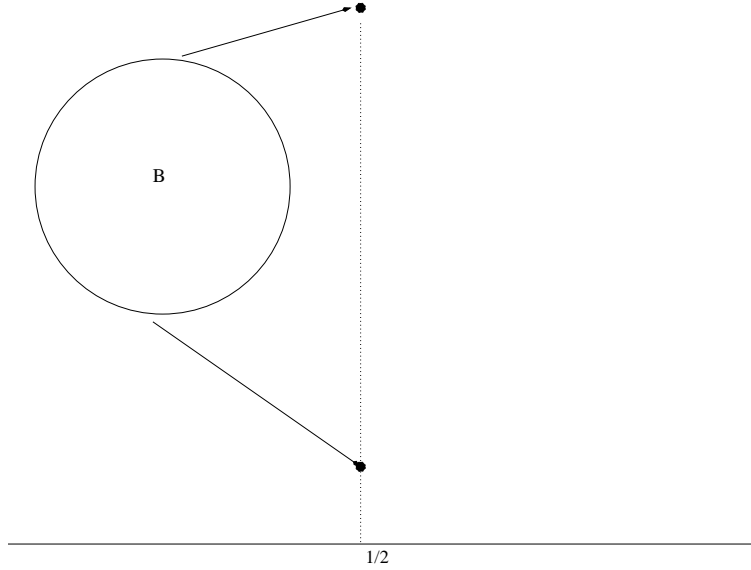


FIG. 9: Les deux points restent sur l'axe $x = 1/2$ et se rapprochent

C'est la déformation que l'on a utilisé dans notre article précédent. La situation est alors stricto sensu identique. Les équations que l'on obtient sont celles de [To1]. Compte tenu des symétries quand on a X et Y dans \mathfrak{p} , il est certains que nos champs adjoints sont dans \mathfrak{k} . Comme on restreint notre étude au cas des espaces symétriques résolubles ou très

symétriques, on peut transformer la condition des traces sur \mathfrak{g} en une condition de trace sur \mathfrak{p} à condition de prendre la racine carrée de la fonction de densité.

Comme sur l'iris cette fonction de densité vaut 1 et que la déformation de Campbell-Hausdorff correspond à $Z_{1/2,iris}(X, Y) = X + Y$, on aura établi le théorème suivant

Théorème 3. *Soit (\mathfrak{g}, σ) une paire symétrique résoluble ou très symétrique. Soient $u(x)$ et $v(y)$ des germes de distributions $\text{ad}\mathfrak{k}$ -invariantes en 0 dans \mathfrak{p} à supports compatibles. Pour Φ une fonction test de support près de 0 dans \mathfrak{p} , on a alors la formule suivante*

$$\int u(x)v(y) \frac{J^{1/2}(x)J^{1/2}(y)}{J^{1/2}(z_{sym}(x, y))} \Phi(z_{sym}(x, y)) dx dy = \int u(x)v(y) \Phi(x + y) dx dy.$$

Remarques finales :

1. Quand (\mathfrak{g}, σ) est une paire symétrique résoluble, le théorème ci-dessus est démontré par Rouvière [Rou1] en utilisant une déformation homogène de la formule de Campbell-Hausdorff comme dans [KV].
2. Les déformations utilisées dans cet article sont régulières mais leur jonction n'est pas différentiable. Cela explique notre choix d'exposition en deux parties et nous permet heureusement de retrouver les résultats de [Rou1].
3. Lorsque $u(x)$ et $v(y)$ correspondent à des distributions de support 0, on retrouve que la symétrisation modifiée par la racine carrée du jacobien, constitue un isomorphisme d'algèbre de $S[\mathfrak{p}]^{\mathfrak{k}}$ (les symboles K -invariants) sur $(U(\mathfrak{g})/U(\mathfrak{g}) \cdot \mathfrak{k})^{\mathfrak{k}}$, l'algèbre des opérateurs différentiels invariants sur l'espace symétrique G/K . C'est l'isomorphisme de Rouvière dans le cas des espaces symétriques résolubles (voir [To2] pour une synthèse sur ce problème).
4. On sait qu'en général on ne peut pas obtenir un tel transport des distributions invariantes en utilisant une modification aussi simple de l'application exponentielle. On peut s'en convaincre par exemple en examinant ce qu'est l'homomorphisme d'Harish-Chandra du cas semi-simple (non très-symétrique). Pour pallier cette difficulté Rouvière a introduit une fonction auxiliaire dans [Rou2], [Rou3], [Rou4] pour les fibrés en droites sur G/K , notée $e_\lambda(x, y)$. Il semble opportun de relier ces résultats avec les méthodes décrites dans cet article. Ce programme de recherche est annoncé dans [To2].

Références

- [ADS] M. Andler, A. Dvorsky and S. Sahi, *Kontsevich quantization and invariant distributions on Lie groups*, e-print, arXiv : math. QA/9910104 à paraître aux *Annales Scien. de l'Ecole Norm. Sup.*
- [AST] M. Andler, S. Sahi and C. Torossian, *Convolution of invariant distributions on Lie groups*, e-print, arXiv : math. QA/0104100.
- [Du] M. Duflo, Opérateurs différentiels bi-invariants sur un groupe de Lie. *Ann. Sc.Ec. Norm. Sup.* **10** (1977), 107–144.
- [Ka] V. Kathotia, Kontsevich universal formula for quantization and the Campbell-Baker-Hausdorff formula. *Internat. J. Math.* **11** (2000), no. 4, 523–551.
- [KV] M. Kashiwara and M. Vergne, The Campbell-Hausdorff formula and invariant hyperfunctions. *Inventiones Math.* **47** (1978), 249–272.
- [Ko] M. Kontsevich, *Deformation quantization of Poisson manifolds I*, e-print, math. QA/9709040.
- [Lo] Loos O., *Symmetric Spaces I-II*. Benjamin, New-York, 1969.
- [Mo] T. Mochizuki, On the morphism of Duflo-Kirillov type. *Journal of Geometry and Physics*, **41** (2002), 73–113.
- [Rou1] F. Rouvière, Espaces symétriques et méthodes de Kashiwara-Vergne. *Ann. Sc. Ec. Norm. Sup.* **19** (1986), 553–581.
- [Rou2] F. Rouvière, Invariant analysis and contractions of symmetric spaces I. *Compositio Math.* **73** (1990), 241–270.
- [Rou3] F. Rouvière, Invariant analysis and contractions of symmetric spaces II. *Compositio Math.* **80** (1991), 111–136.
- [Rou4] F. Rouvière, Fibrés en droite sur un espace symétrique et analyse invariante. *Journal of Functional Analysis* **124** (1994), 263–291.
- [To1] C. Torossian, *Sur la formule combinatoire de Kashiwara-Vergne*, *Journal of Lie Theory*, **12** (no. 2) (2002), 597–616.
- [To2] C. Torossian, *Trois perspectives autour des opérateurs différentiels invariants*, Thèse d'Habilitation à diriger les recherches de l'Université de Paris VII, décembre 2001, [http ://www.dma.ens.fr/~torossia/publication/pubindex.html](http://www.dma.ens.fr/~torossia/publication/pubindex.html).
- [Ve] M. Vergne, Le centre de l'algèbre enveloppante et la formule de Campbell-Hausdorff, *C. R. Acad. Sci. Paris*, **329** (1999), Série I, 767–772.